

## セメントベーストの乾燥収縮に及ぼす 低減剤の影響について

八戸工業大学 理系○小本浩道  
正員 左谷征美  
〃 杉田修一

### 1.はじめに

コンクリートの乾燥収縮抑制を防止する方法として、昨今開発された収縮低減剤の活用は、その顯著な収縮低減効果から従来にならぬ強力な手段となりると考えられる。また、この観点から筆者らは低減剤の添加量や含浸がコンクリートのひびわれ遲延に有効であることをすでに確認している。しかしながらこの低減剤の作用機構については必ずしも明確とはされていない。本研究はセメントベーストを試料とし、これら低減剤の効果ならびに収縮機構について、3の基礎的検討をしたものである。

### 2. 実験概要

試料は $1 \times 1 \times 16$  cm<sup>3</sup>のセメントベースト供試体でありセメントはX社普通ボルトランドセメントを使用した。本研究に用いた収縮低減剤（ひびわれ低減剤と称するものも含む）は、表-1に示す5種類があり、いずれも水に溶解、分散してその表面張力を大幅に低下させ、働きを持つものである。また5%希釈液の表面張力は低減剤の種類ともよろが、最大純水と5割弱にまで低下している事がわかる。用いたセメントベーストの水セメント比は30%であり養生期間は7日及び28日としたが本文の解説には前者の7日データのみを対象とした。低減剤添加量はセメント量の2%および6%とし試験環境条件としては20°C一定、相対湿度90%、79%、58%、45%、20%および0%を設定した。

これは、調湿剤で所定の湿度に調節したデシケーターを用いて実施した。なお、湿度0%については、各湿度で試験終了後の供試体を用いてMg(CO<sub>3</sub>)<sub>2</sub>デシケーター内乾燥条件下で得られたと仮定した。又、水和収縮はこれを考慮していない。長さ変化はダイヤルゲージ（1/1000 mm）により測定し重量は化学天秤（1/100 g 感量）によった。

### 3. 結果

結果を表-1に示す。値は乾燥後60日の値である。全般に低減剤添加は収縮を減少させたが、重量減少は低湿度下で顕著増加してより収縮抑制の原因が乾燥によるものである。又、低減剤添加量の增加と共に、収縮は低減するが、低減剤Aを用いた場合60%減と効果的では最も優れ、Eが10%程度の効果の少ない事である。又、20~60%RH程度の環境での低減効果が大きくなる。

表. 1 低減剤の物理化学的性質

種類	成 分	外 貌	比 重	粘 度	pH	特徴	*表面張力
A	アルキレンオキシド系 液状	青色透明 液状	1.00 (20°C)	約20CPS (20°C)	6 (1%水溶液)	水に易溶	34.5
B	アルキレンオキシド系 液状	底粘透明 液状	0.98 (20°C)	18CPS (20°C)	6:1 (1%水溶液)	水に易溶	47.8
C	ポリエーテル系 液状	無色~淡色 液状	1.02±0.02 (20°C)	100:20CPS (20°C)	7:1	水に易溶	37.0
D	グリコールエーテル系 液状	淡黄色の 液状	1.04	—	—	水に難溶	38.8
E	エチレン-酢酸ビニル-環 化ビニル三元共重合樹脂系	白色乳化液	約1.05 (20°C)	50CPS (25°C)	4.5~7	水に分散	36.2

\* 5%希釈液 (dyn/cm)

表. 2 平衡時収縮量及び重量

RH%	0%	A		B		C		D		E	
		2%	6%	2%	6%	2%	6%	2%	6%	2%	6%
0%	MgCl <sub>2</sub> •6H <sub>2</sub> O	489 288	381 270	316 281	388 288	337 300	430 278	355 289	400 278	331 274	474 278
20%	CHCOOH	278 192	153 179	120 181	176 201	155 208	237 184	140 196	175 180	126 137	263 178
45%	KNO <sub>3</sub>	238 121	123 132	82 151	152 136	139 156	180 139	106 157	150 128	109 128	193 123
58%	Na <sub>2</sub> SO <sub>4</sub>	181 90	125 109	74 132	144 108	137 120	191 110	100 131	156 98	100 100	172 98
79%	NH <sub>4</sub> Cl	135 37	102 40	60 82	111 52	106 57	154 50	80 85	117 54	71 49	140 49
90%	ZnSO <sub>4</sub> •7H <sub>2</sub> O	80 7	30 4	29 51	41 12	35 15	89 12	49 38	48 23	25 23	56 23
水中	(鋼球) 重量増	29 25	35 24	27 25	37 26	23 22	24 25	24 24	23 25	26 10	12 38

\* 収縮 ( $\times 10^{-3}$ )

\*\* 重量変化 ( $\text{mg}/\text{cc}\text{-ベースト}$ )

図-1 各種相対湿度と収縮の関係を示す。A および control 供試体の収縮は、45%RH 以下相対湿度の低下と共に増大するが、20%~45% 間で進行が停滞する。これに対し低減剤添加の場合、E を除けば 58%RH 以下 20%RH までの進行が遅くなる、従事に特徴がある。図-2 には、低減剤 6% 添加時の収縮  $E_{sh}$  ～重量減  $W$  の関係を示す。図-1 と同様の速度範囲で重量減少の増加に拘らず、収縮の進行が少ない点が明確に認められる。

セメント硬化体の収縮は一般に中高湿度領域では毛細管吸湿理論によつて説明されることが多い。空隙中の収縮に対する熱力学的平衡を仮定した場合の液の表面形状、蒸気圧の関係式  $K = \nu / \nu_0$  が式(1)の表かれた。ここで  $\nu$  を曲率半径、 $R$  をガス定数、 $T$  を絶対温度、 $\nu_0$  を液の比容積、 $\mu$  を表面張力  $= 1/2$

$$\nu_0 + \nu_1 = \frac{-RT}{RM\nu_0} \ln\left(\frac{\rho}{\rho_s}\right) \quad (1)$$

$\rho/\rho_s$  は相対湿度である。又、乾燥収縮の原因となる内部応力  $\sigma_{cp}$  は  $W_c$  と残存水分子(体積含水率)との式で求められる。

$$\sigma_{cp} = -W_c \frac{RT}{M\nu_0} \ln\left(\frac{\rho}{\rho_s}\right) \quad (2)$$

式(1)より、 $M$ 、 $\nu_0$ 、など一定とすれば細孔半径すなわちケルビン半径と表面張力  $\mu$  と比例する。表-3 は式(1)による計算量を 2% 重量減より求めた表面張力を式(2)計算したケルビン半径と示す。このケルビン半径と表-2 により求めた残存水分子  $W_c$  の関係を図-3 に示す。これによると control 供試体の  $W_c$  は  $\sigma_{cp}$  と比べると最も小さくなり計算上求めた細孔分布や低減剤添加により幾分変化するところを窺う。しかし式(2)計算に用いた表面張力はケルビン半径中の実測値ではなくて 120 以上の場合、半径における表面張力差がかなり大きい。毛細管吸湿理論が適用しうる式(1)と式(2)の表面張力がどのように変化するか検討した結果、結果同様に比例して変化するところと矛盾するものである。

図-3 はケルビン半径と表-2 に対応した相対湿度下の実測収縮量の關係を代表的低減剤 A、B、E および control 供試体に対するものである。前二者については control 1 ペーストに対する表面張力が低下せず、収縮量と実測値は良く一致し毛細管吸湿理論式とほぼ一致する。これに対し低減剤 E については図-3 でも一部認められたように樹脂成分により細孔率や水和形態の変化が影響し表面張力が変化するが、その結果として収縮量が示したものである。

最後に、今後セメントベースト中の水分の表面張力を求めて上記と同様の検討を行なう所存である。

図-1

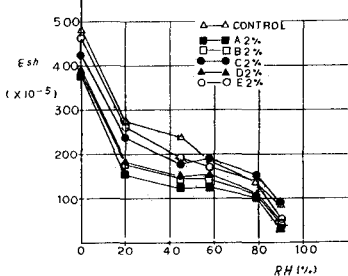


図-2

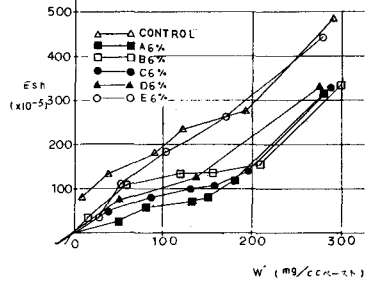


表-3 ケルビン半径 (Å)

	CONTROL	A 2%	B 2%	C 2%	D 2%	E 2%
表面張力	72.8	32.6	46.3	36.0	38.4	35.5
(dyn/cm)	(100)	(44.8)	(63.6)	(49.4)	(52.7)	(44.8)
90	102.2	45.8	65.0	50.5	53.9	49.8
79	45.7	20.5	29.1	22.6	24.1	22.3
58	19.8	8.9	12.6	9.8	10.4	9.7
45	13.5	6.0	8.6	6.7	7.1	6.6
20	6.7	3.0	4.3	3.3	3.5	3.3

表面張力 (dyn/cm)

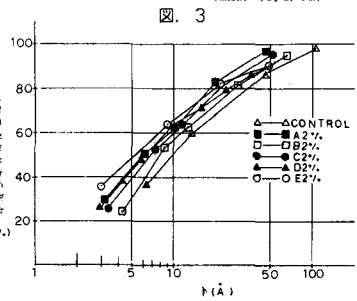


図-3

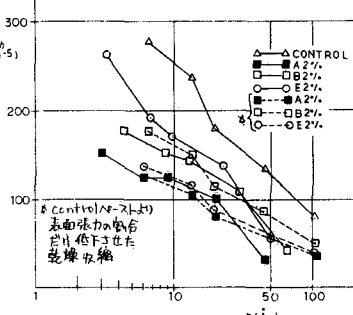


図-4